

Phénomènes de  
propagation

Onde progressive

Dispersion

Étude de la corde  
vibrante

Équation d'Alembert

Onde dans un solide

Phénomènes de propagation

Onde progressive

Dispersion

Étude de la corde vibrante

Équation d'Alembert

Onde dans un solide

## Phénomène de propagation dispersive

Le phénomène de dispersion correspond à la déformation de la perturbation au cours de la propagation.

On traitera dans ce chapitre des phénomènes non dispersifs.

## Grandeurs caractéristiques :

- Masse linéïque de la corde  $\mu$  uniforme
- Corde tendue avec une tension de norme  $T$

## Hypothèses d'étude

- Poids négligeable devant les autres interactions
- Corde  $\infty$  souple
- Petits mouvements transverses

E. Ouvrard

Phénomènes de propagation

Étude de la corde vibrante

Modélisation

Repérage

Tension

Bilan dynamique

Équation d'onde

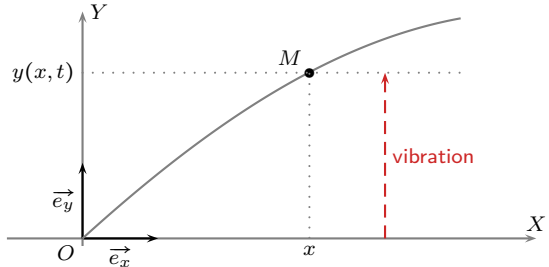
Équation d'Alembert

Onde dans un solide

## Étude de la corde vibrante

## Repérage

### Équation d'onde



- Les faibles perturbations permettent de considérer  $\alpha$  très faible. Un D.L. à l'ordre 1 en  $\alpha$  donne :
 
$$\sin\alpha \equiv \alpha$$

$$\tan\alpha \equiv \alpha$$

$$\cos\alpha \equiv 1 - \frac{\alpha^2}{2}$$
  - On peut relier  $\alpha$  et  $y$  :

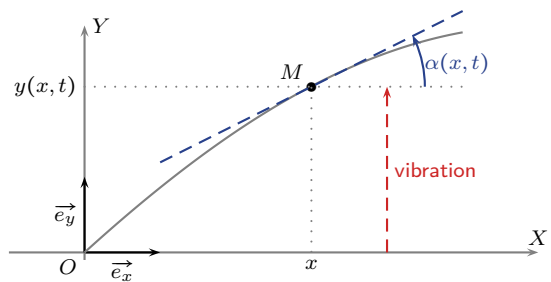
## Étude de la corde vibrante

## Repérage

## Tension

## Bilan dynamique

### Équation d'onde

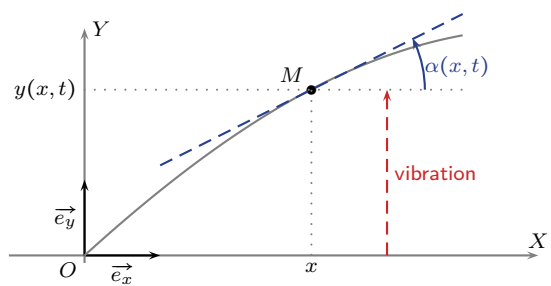


- Les faibles perturbations permettent de considérer  $\alpha$  très faible. Un D.L. à l'ordre 1 en  $\alpha$  donne :  

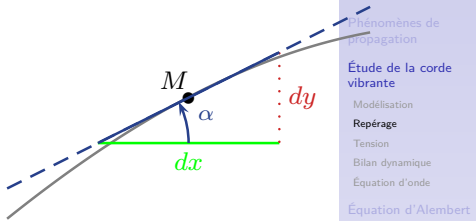
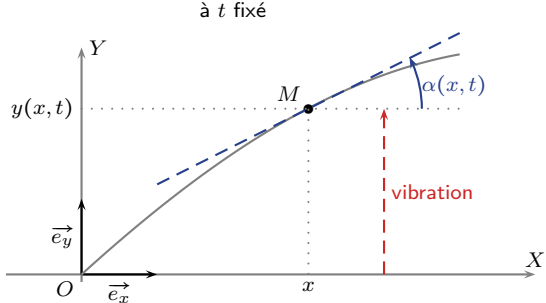
$$\sin\alpha \equiv \alpha$$

$$\tan\alpha \equiv \alpha$$

$$\cos\alpha \equiv 1 - \frac{\alpha^2}{2}$$
  - On peut relier  $\alpha$  et  $y$  :



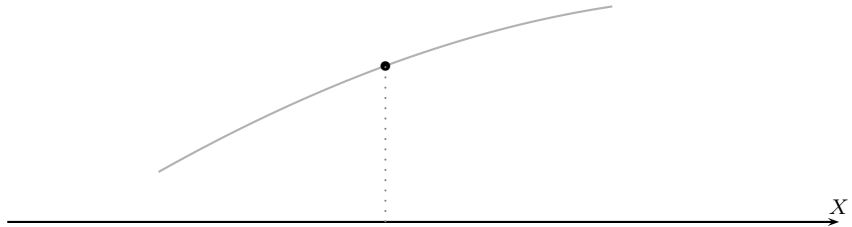
- Les faibles perturbations permettent de considérer  $\alpha$  très faible. Un D.L. à l'ordre 1 en  $\alpha$  donne :
 
$$\begin{aligned} \sin\alpha &\equiv \alpha \\ \tan\alpha &\equiv \alpha \\ \cos\alpha &\equiv 1 \end{aligned}$$
  - On peut relier  $\alpha$  et  $y$  :



- Les faibles perturbations permettent de considérer  $\alpha$  très faible. Un D.L. à l'ordre 1 en  $\alpha$  donne :
 
$$\begin{aligned} \sin\alpha &\equiv \alpha \\ \tan\alpha &\equiv \alpha \\ \cos\alpha &\equiv 1 \end{aligned}$$
  - On peut relier  $\alpha$  et  $y$  :

Définissons la différentielle  $dy$  :

$$\tan \alpha = \frac{\partial y}{\partial x}$$



On note  $\overrightarrow{T_{d \rightarrow g}}(x, t)$  la force exercée en  $M(x)$  par la partie droite de la corde sur la partie gauche, et  $T(x, t)$  sa norme.

Dans la base  $(\vec{e}_x, \vec{e}_y)$ ,  $\overrightarrow{T_{d \rightarrow g}}(x, t) =$   $x$

Phénomènes de propagation

Étude de la corde vibrante

Modélisation

Repérage

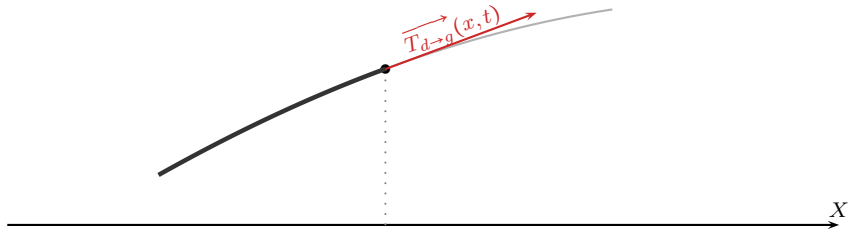
Tension

Bilan dynamique

Équation d'onde

Équation d'Alembert

Onde dans un solide



On note  $\overrightarrow{T_{d \rightarrow g}}(x, t)$  la force exercée en  $M(x)$  par la partie droite de la corde sur la partie gauche, et  $T(x, t)$  sa norme.

Dans la base  $(\vec{e}_x, \vec{e}_y)$ ,  $\overrightarrow{T_{d-q}}(x, t) =$

Phénomènes de propagation

Étude de la corde vibrante

Modélisation

Repérage

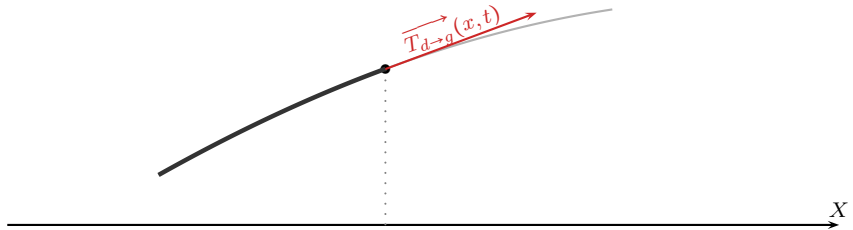
Tension

Bilan dynamique

Équation d'onde

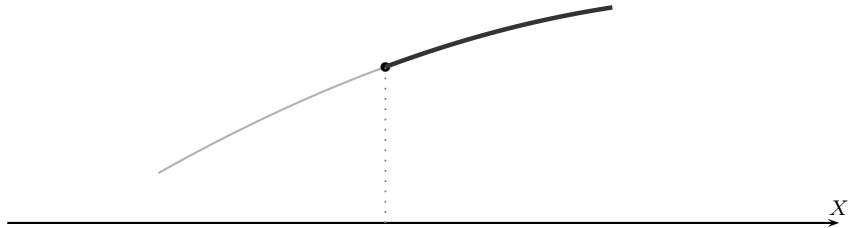
Équation d'Alembert

Onde dans un solide



On note  $\overrightarrow{T_{d-g}}(x, t)$  la force exercée en  $M(x)$  par la partie droite de la corde sur la partie gauche, et  $T(x, t)$  sa norme.

Dans la base  $(\vec{e}_x, \vec{e}_y)$ ,  $\overrightarrow{T_{d-g}}(x, t) = T(x, t) \cdot [\cos\alpha(x, t) \cdot \vec{e}_x + \sin\alpha(x, t) \cdot \vec{e}_y]$



On note  $\overrightarrow{T_{d \rightarrow g}}(x, t)$  la force exercée en  $M(x)$  par la partie droite de la corde sur la partie gauche, et  $T(x, t)$  sa norme.

Dans la base  $(\vec{e}_x, \vec{e}_y)$ ,  $\overrightarrow{T_{d \rightarrow g}}(x, t) = T(x, t) \cdot [\cos\alpha(x, t) \cdot \vec{e}_x + \sin\alpha(x, t) \cdot \vec{e}_y]$

Phénomènes de propagation

Étude de la corde vibrante

Modélisation

Repérage

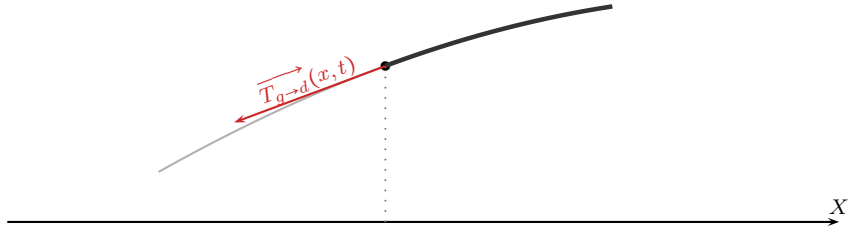
Tension

Bilan dynamique

Équation d'onde

Équation d'Alembert

Onde dans un solide



On note  $\overrightarrow{T_{d \rightarrow g}}(x, t)$  la force exercée en  $M(x)$  par la partie droite de la corde sur la partie gauche, et  $T(x, t)$  sa norme.

Dans la base  $(\vec{e}_x, \vec{e}_y)$ ,  $\overrightarrow{T_{d \rightarrow g}}(x, t) = T(x, t) \cdot [\cos\alpha(x, t) \cdot \vec{e}_x + \sin\alpha(x, t) \cdot \vec{e}_y]$

### Principe des actions réciproques

En tout point de la corde

$$\overrightarrow{T_{g \rightarrow d}}(x, t) = -\overrightarrow{T_{d \rightarrow g}}(x, t)$$

Phénomènes de propagation

Étude de la corde vibrante

Modélisation

Repérage

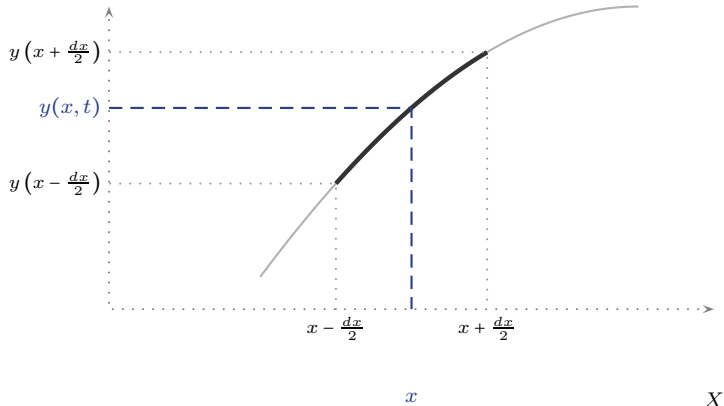
Tension

Bilan dynamique

Équation d'onde

Équation d'Alembert

Onde dans un solide



Phénomènes de propagation

### Étude de la corde vibrante

Modélisation

Repérage

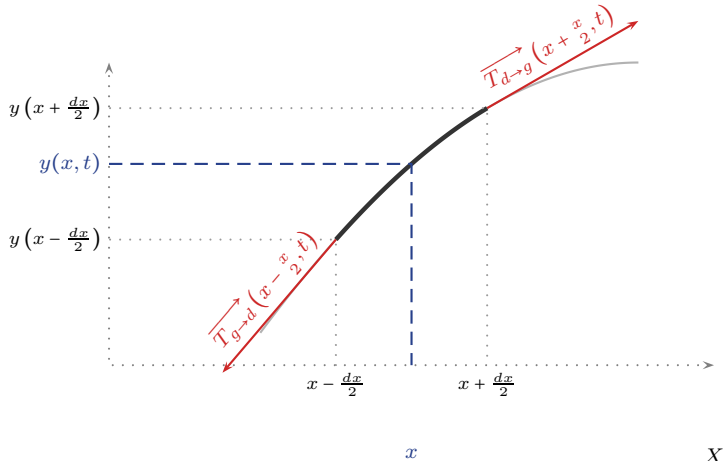
Tension

### Bilan dynamique

Équation d'onde

Équation d'Alembert

Onde dans un solide



Phénomènes de  
propagation

**Étude de la corde  
vibrante**

Modélisation

Repérage

Tension

**Bilan dynamique**

Équation d'onde

Équation d'Alembert

Onde dans un solide

## On applique le PFD appliqué à une tranche $dx$ de corde

Physique des ondes

E. Ouvrard

- PFD :  $dm \frac{\partial^2 y(x, t)}{\partial t^2} \vec{e}_y = \overrightarrow{T_{g \rightarrow d}}(x - \frac{x}{2}, t) + \overrightarrow{T_{d \rightarrow g}}(x + \frac{x}{2}, t)$

Phénomènes de propagation

Étude de la corde vibrante

Modélisation

Repérage

Tension

Bilan dynamique

Équation d'onde

Équation d'Alembert

Onde dans un solide

On projette cette relation selon l'axe  $Ox$

Physique des ondes

E. Ouvrard

- PFD :  $dm \frac{\partial^2 y(x, t)}{\partial t^2} \vec{e}_y = \overrightarrow{T_{g \rightarrow d}}(x - \frac{x}{2}, t) + \overrightarrow{T_{d \rightarrow g}}(x + \frac{x}{2}, t)$

Phénomènes de propagation

Étude de la corde vibrante

Modélisation

Repérage

Tension

Bilan dynamique

Équation d'onde

Équation d'Alembert

Onde dans un solide

On projette cette relation selon l'axe  $Ox$

- PFD :  $dm \frac{\partial^2 y(x, t)}{\partial t^2} \vec{e}_y = \overrightarrow{T_{g \rightarrow d}}(x - \frac{x}{2}, t) + \overrightarrow{T_{d \rightarrow g}}(x + \frac{x}{2}, t)$

- $Ox : 0 = -T(x - \frac{x}{2}, t).cos\alpha(x - \frac{x}{2}, t) + T(x + \frac{x}{2}, t).cos\alpha(x + \frac{x}{2}, t)$

$$T\left(x - \frac{x}{2}, t\right) = T\left(x + \frac{x}{2}, t\right) \quad \forall (x, t) \rightarrow T(x, t) = T$$

Phénomènes de propagation

Étude de la corde vibrante

Modélisation

Repérage

Tension

Bilan dynamique

Équation d'onde

Équation d'Alembert

Onde dans un solide

On projette cette relation selon l'axe  $Oy$

- PFD :  $dm \frac{\partial^2 y(x, t)}{\partial t^2} \vec{e}_y = \overrightarrow{T_{g \rightarrow d}}(x - \frac{x}{2}, t) + \overrightarrow{T_{d \rightarrow g}}(x + \frac{x}{2}, t)$

- $Ox : 0 = -T(x - \frac{x}{2}, t).cos\alpha(x - \frac{x}{2}, t) + T(x + \frac{x}{2}, t).cos\alpha(x + \frac{x}{2}, t)$

$$T\left(x - \frac{x}{2}, t\right) = T\left(x + \frac{x}{2}, t\right) \quad \forall (x, t) \rightarrow T(x, t) = T$$

Phénomènes de propagation

Étude de la corde vibrante

Modélisation

Repérage

Tension

Bilan dynamique

Équation d'onde

Équation d'Alembert

Onde dans un solide

On projette cette relation selon l'axe  $Oy$

- PFD :  $dm \frac{\partial^2 y(x,t)}{\partial t^2} \vec{e}_y = \overrightarrow{T_{g \rightarrow d}}(x - \frac{x}{2}, t) + \overrightarrow{T_{d \rightarrow g}}(x + \frac{x}{2}, t)$

- $Ox : 0 = -T(x - \frac{x}{2}, t).cos\alpha(x - \frac{x}{2}, t) + T(x + \frac{x}{2}, t).cos\alpha(x + \frac{x}{2}, t)$

$$T\left(x - \frac{x}{2}, t\right) = T\left(x + \frac{x}{2}, t\right) \quad \forall (x, t) \rightarrow T(x, t) = T$$

- $Oy : dm \frac{\partial^2 y(x,t)}{\partial t^2} = -T.sin\alpha(x - \frac{x}{2}, t) + T.sin\alpha(x + \frac{x}{2}, t)$

Phénomènes de propagation

Étude de la corde vibrante

Modélisation

Repérage

Tension

Bilan dynamique

Équation d'onde

Équation d'Alembert

Onde dans un solide

- PFD :  $dm \frac{\partial^2 y(x,t)}{\partial t^2} \vec{e}_y = \overrightarrow{T_{g \rightarrow d}}(x - \frac{x}{2}, t) + \overrightarrow{T_{d \rightarrow g}}(x + \frac{x}{2}, t)$

- Ox :  $0 = -T(x - \frac{x}{2}, t).cos\alpha(x - \frac{x}{2}, t) + T(x + \frac{x}{2}, t).cos\alpha(x + \frac{x}{2}, t)$

$$T\left(x - \frac{x}{2}, t\right) = T\left(x + \frac{x}{2}, t\right) \quad \forall (x, t) \rightarrow T(x, t) = T$$

- Oy :  $dm \frac{\partial^2 y(x,t)}{\partial t^2} = -T.sin\alpha(x - \frac{x}{2}, t) + T.sin\alpha(x + \frac{x}{2}, t)$

Phénomènes de propagation

Étude de la corde vibrante

Modélisation

Repérage

Tension

Bilan dynamique

Équation d'onde

Équation d'Alembert

Onde dans un solide

- PFD :  $dm \frac{\partial^2 y(x,t)}{\partial t^2} \vec{e}_y = \overrightarrow{T_{g \rightarrow d}}(x - \frac{x}{2}, t) + \overrightarrow{T_{d \rightarrow g}}(x + \frac{x}{2}, t)$

- Ox :  $0 = -T(x - \frac{x}{2}, t).cos\alpha(x - \frac{x}{2}, t) + T(x + \frac{x}{2}, t).cos\alpha(x + \frac{x}{2}, t)$

$$T\left(x - \frac{x}{2}, t\right) = T\left(x + \frac{x}{2}, t\right) \quad \forall (x, t) \rightarrow T(x, t) = T$$

- Oy :  $dm \frac{\partial^2 y(x,t)}{\partial t^2} = -T.sin\alpha(x - \frac{x}{2}, t) + T.sin\alpha(x + \frac{x}{2}, t) \approx T(\alpha(x + \frac{x}{2}, t) - \alpha(x - \frac{x}{2}, t))$

$$dm \frac{\partial^2 y(x,t)}{\partial t^2} = T \cdot \frac{\partial \alpha(x,t)}{\partial x} \cdot dx$$

Phénomènes de propagation

Étude de la corde vibrante

Modélisation

Repérage

Tension

Bilan dynamique

Équation d'onde

Équation d'Alembert

Onde dans un solide

- PFD :  $dm \frac{\partial^2 y(x,t)}{\partial t^2} \vec{e}_y = \overrightarrow{T_{g \rightarrow d}}(x - \frac{x}{2}, t) + \overrightarrow{T_{d \rightarrow g}}(x + \frac{x}{2}, t)$

- Ox :  $0 = -T(x - \frac{x}{2}, t).cos\alpha(x - \frac{x}{2}, t) + T(x + \frac{x}{2}, t).cos\alpha(x + \frac{x}{2}, t)$

$$T\left(x - \frac{x}{2}, t\right) = T\left(x + \frac{x}{2}, t\right) \quad \forall (x, t) \rightarrow T(x, t) = T$$

- Oy :  $dm \frac{\partial^2 y(x,t)}{\partial t^2} = -T.sin\alpha(x - \frac{x}{2}, t) + T.sin\alpha(x + \frac{x}{2}, t) \approx T(\alpha(x + \frac{x}{2}, t) - \alpha(x - \frac{x}{2}, t))$

$$dm \frac{\partial^2 y(x,t)}{\partial t^2} = T \cdot \frac{\partial \alpha(x,t)}{\partial x} \cdot dx$$

Phénomènes de propagation

Étude de la corde vibrante

Modélisation

Repérage

Tension

Bilan dynamique

Équation d'onde

Équation d'Alembert

Onde dans un solide

- PFD :  $dm \frac{\partial^2 y(x,t)}{\partial t^2} \vec{e}_y = \overrightarrow{T_{g \rightarrow d}}(x - \frac{x}{2}, t) + \overrightarrow{T_{d \rightarrow g}}(x + \frac{x}{2}, t)$

- Ox :  $0 = -T(x - \frac{x}{2}, t).cos\alpha(x - \frac{x}{2}, t) + T(x + \frac{x}{2}, t).cos\alpha(x + \frac{x}{2}, t)$

$$T\left(x - \frac{x}{2}, t\right) = T\left(x + \frac{x}{2}, t\right) \quad \forall (x, t) \rightarrow T(x, t) = T$$

- Oy :  $dm \frac{\partial^2 y(x,t)}{\partial t^2} = -T.sin\alpha(x - \frac{x}{2}, t) + T.sin\alpha(x + \frac{x}{2}, t) \approx T(\alpha(x + \frac{x}{2}, t) - \alpha(x - \frac{x}{2}, t))$

$$dm \frac{\partial^2 y(x,t)}{\partial t^2} = T \cdot \frac{\partial \alpha(x,t)}{\partial x} \cdot dx T \cdot \frac{\partial^2 y(x,t)}{\partial x^2} \cdot dx$$

Phénomènes de propagation

Étude de la corde vibrante

Modélisation

Repérage

Tension

Bilan dynamique

Équation d'onde

Équation d'Alembert

Onde dans un solide

On relie  $dm$  et  $dx$ 

- PFD :  $dm \frac{\partial^2 y(x,t)}{\partial t^2} \vec{e}_y = \overrightarrow{T_{g \rightarrow d}}(x - \frac{x}{2}, t) + \overrightarrow{T_{d \rightarrow g}}(x + \frac{x}{2}, t)$

- $Ox : 0 = -T(x - \frac{x}{2}, t).cos\alpha(x - \frac{x}{2}, t) + T(x + \frac{x}{2}, t).cos\alpha(x + \frac{x}{2}, t)$

$$T\left(x - \frac{x}{2}, t\right) = T\left(x + \frac{x}{2}, t\right) \quad \forall (x, t) \rightarrow T(x, t) = T$$

- $Oy : dm \frac{\partial^2 y(x,t)}{\partial t^2} = -T.sin\alpha(x - \frac{x}{2}, t) + T.sin\alpha(x + \frac{x}{2}, t) \approx T(\alpha(x + \frac{x}{2}, t) - \alpha(x - \frac{x}{2}, t))$

$$dm \frac{\partial^2 y(x,t)}{\partial t^2} = T \cdot \frac{\partial \alpha(x,t)}{\partial x} \cdot dx T \cdot \frac{\partial^2 y(x,t)}{\partial x^2} \cdot dx$$

Phénomènes de propagation

Étude de la corde vibrante

Modélisation

Repérage

Tension

Bilan dynamique

Équation d'onde

Équation d'Alembert

Onde dans un solide

On relie  $dm$  et  $dx$ 

- PFD :  $dm \frac{\partial^2 y(x, t)}{\partial t^2} \vec{e}_y = \overrightarrow{T_{g \rightarrow d}}(x - \frac{x}{2}, t) + \overrightarrow{T_{d \rightarrow g}}(x + \frac{x}{2}, t)$

- Ox :  $0 = -T(x - \frac{x}{2}, t).cos\alpha(x - \frac{x}{2}, t) + T(x + \frac{x}{2}, t).cos\alpha(x + \frac{x}{2}, t)$

$$T\left(x - \frac{x}{2}, t\right) = T\left(x + \frac{x}{2}, t\right) \quad \forall (x, t) \rightarrow T(x, t) = T$$

- Oy :  $dm \frac{\partial^2 y(x, t)}{\partial t^2} = -T.sin\alpha(x - \frac{x}{2}, t) + T.sin\alpha(x + \frac{x}{2}, t) \approx T(\alpha(x + \frac{x}{2}, t) - \alpha(x - \frac{x}{2}, t))$

$$dm \frac{\partial^2 y(x, t)}{\partial t^2} = T \cdot \frac{\partial \alpha(x, t)}{\partial x} \cdot dx T \cdot \frac{\partial^2 y(x, t)}{\partial x^2} \cdot dx$$

- $dm = \mu \cdot dl = \mu \cdot \frac{dx}{cos\alpha(x, t)} \approx \mu \cdot dx$

$$\mu \cdot \frac{\partial^2 y(x, t)}{\partial t^2} = T \cdot \frac{\partial^2 y(x, t)}{\partial x^2}$$

Phénomènes de propagation

Étude de la corde vibrante

Modélisation

Repérage

Tension

Bilan dynamique

Équation d'onde

Équation d'Alembert

Onde dans un solide

On définit la vitesse de phase de l'onde,  $v_\varphi$  telle que l'équation d'onde s'écrive sous la forme

$$\frac{\partial^2 y(x,t)}{\partial t^2} - v_\varphi^2 \cdot \frac{\partial^2 y(x,t)}{\partial x^2} = 0$$

Pour la corde vibrante, le bilan dynamique a donné :

$$\frac{\partial^2 y(x,t)}{\partial t^2} - \frac{T}{\mu} \frac{\partial^2 y(x,t)}{\partial x^2} = 0$$

### Par analyse dimensionnelle

- Proposer la forme canonique de l'équation de propagation
- Retrouver par analyse dimensionnelle l'expression de la vitesse de phase en fonction de  $\mu$  et  $T$

$$v_\varphi = \sqrt{\frac{T}{\mu}}$$

L'onde se propage selon la direction  $Ox$ .

$s(x, t)$  décrit la perturbation due au passage de l'onde en  $x$  à l'instant  $t$

### Équation d'Alembert unidimensionnelle

Une grandeur physique  $s(x, t)$  vérifie l'équation d'Alembert unidimensionnelle si

$$\frac{\partial^2 s}{\partial t^2} - v_\varphi^2 \frac{\partial^2 s}{\partial x^2} = 0$$

avec  $v_\varphi$  la vitesse de phase de l'onde, en  $m.s^{-1}$

Phénomènes de propagation

Étude de la corde vibrante

### Équation d'Alembert

Forme unidimensionnelle

Onde progressive

Onde progressive harmonique

Solutions stationnaires

Ondes stationnaires

Onde dans un solide

## Cohérence de la solution avec l'équation

Vérifier que la forme générale de la solution proposée pour une onde progressive est bien solution de l'équation d'Alembert.

Phénomènes de propagation

Étude de la corde vibrante

**Équation d'Alembert**

Forme unidimensionnelle

Onde progressive

Onde progressive harmonique

Solutions stationnaires

Ondes stationnaires

Onde dans un solide

## Cohérence de la solution avec l'équation

Vérifier que la forme générale de la solution proposée pour une onde progressive est bien solution de l'équation d'Alembert.

- $f\left(t - \epsilon \cdot \frac{x}{v_\varphi}\right) = f(u)$  avec  $u = t - \epsilon \cdot \frac{x}{v_\varphi}$

- $\frac{\partial f}{\partial x} = \frac{\partial f}{\partial u} \cdot \frac{\partial u}{\partial x} = \frac{-\epsilon}{v_\varphi} \cdot \frac{\partial f}{\partial u}$

- $\frac{\partial^2 f}{\partial x^2} = \frac{\partial u}{\partial x} \cdot \frac{\partial}{\partial u} \left( \frac{\partial f}{\partial x} \right) = \left( \frac{-\epsilon}{v_\varphi} \right)^2 \cdot \frac{\partial^2 f}{\partial u^2}$

- Plus simplement  $\frac{\partial^2 f}{\partial t^2} = \frac{\partial^2 f}{\partial u^2}$

- $\frac{\partial^2 f}{\partial u^2} - c^2 \cdot \left( \frac{-\epsilon}{v_\varphi} \right)^2 \cdot \frac{\partial^2 f}{\partial u^2} = 0$

On vérifie donc bien l'équation d'Alembert.

Phénomènes de propagation

Étude de la corde vibrante

### Équation d'Alembert

Forme unidimensionnelle

Onde progressive

Onde progressive harmonique

Solutions stationnaires

Ondes stationnaires

Onde dans un solide

Phénomènes de  
propagation

Étude de la corde  
vibrante

### Équation d'Alembert

Forme unidimensionnelle

Onde progressive

Onde progressive  
harmonique

### Fréquences spatio-temporelles

Forme de la solution

Solutions stationnaires

Ondes stationnaires

Onde dans un solide

Phénomènes de propagation

Étude de la corde vibrante

### Équation d'Alembert

Forme unidimensionnelle

Onde progressive

Onde progressive harmonique

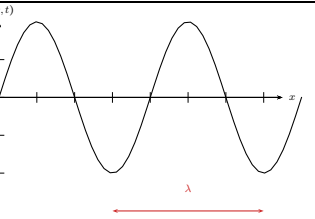
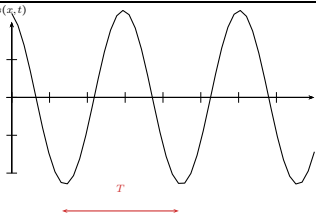
### Fréquences spatio-temporelles

Forme de la solution

Solutions stationnaires

Ondes stationnaires

Onde dans un solide

		
Pulsation	$k$	$\omega$
Fréquence	$\sigma = \frac{k}{2\pi}$	$\nu = \frac{\omega}{2\pi}$
Période	$\lambda = \frac{2\pi}{k} = \frac{1}{\sigma}$	$T = \frac{2\pi}{\omega} = \frac{1}{\nu}$

## Onde progressive harmonique

Onde Progressive Harmonique se propageant dans le sens des  $x$  croissants est caractérisée par son vecteur d'onde  $\vec{k} = k\hat{u}_x$  avec  $k$  le nombre d'onde.

$$s(x, t) = S_0 \cdot \cos(\omega t - kx + \varphi) \longrightarrow s = S_0 e^{i(\omega t - kx + \varphi)}$$

## Relation de dispersion

$$k = \frac{\omega}{v_\varphi}$$

Lorsque la vitesse de phase  $v_\varphi$  de l'onde est indépendante de la pulsation  $\omega$ , la propagation est dite **non dispersive**.

Phénomènes de propagation

Étude de la corde vibrante

### Équation d'Alembert

Forme unidimensionnelle

Onde progressive

Onde progressive harmonique

Solutions stationnaires

Forme de la solution

Ondes stationnaires

Onde dans un solide

## Ondes stationnaires

S'il existe des nœuds où la vibration est nulle à tout instant, il n'y a plus de progression possible de l'onde. L'onde est alors dite stationnaire.

Pour une telle onde, la solution peut s'écrire sous la forme



$$s(x, t) = 2 \cdot S_0 \cos(\omega t + \varphi) \cos(kx + \psi)$$